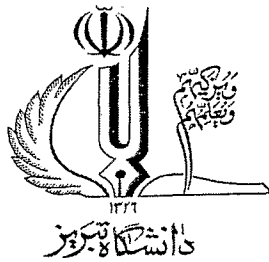


AKM93



دانشکده فیزیک

گروه اتمی و مولکولی - (پلاسمای

پایان نامه

برای دریافت درجه کارشناسی ارشد در رشته فیزیک

عنوان

بررسی ناپایداری ریله- تیلور در پلاسما فوکوس

استادان راهنما

دکتر محمود مصلحی فرد

دکتر صمد سبحانیان

استاد مشاور

۱۳۸۶/۹/۲۵

مهندس وحید سیاهپوش

پژوهشگر

بهنام کوهی همپا

شهریور ۸۶



ماند و شرپیز

۶

روح پاگ

پریم

تقدیر و تشکر

اینک که به فضل الهی موفق به انجام این پژوهش شده‌ام، بر خود فرض می‌دانم مراتب سپاس قلبی ام را به محضر بزرگوارانی که یاری و محبتیشان را از حقیر دریغ نکرده‌اند اعلام نمایم:

ابتدا سپاسگزارم از آنان که در حیاتم و امدادار و شرمنده آنام، مادر گرامی و همه اعضای خانواده‌ام که با تلاشی در خور در همه مراحل زندگی و تحصیل به یاری ام همت گماردند.

جناب آقایان دکتر محمود مصلحی‌فرد و دکتر صمد سبحانیان اساتید راهنمای حقیر که بردبازانه و با شکیبایی تمام و زرف اندیشه‌انه پشتیبان و راهنمایم در انجام این تحقیق بوده‌اند، الطافشان توفیق و افتخار بزرگی است که نصیبم شده‌است، امیدوارم که سپاس صادقانه شاگرد حقیرشان را پذیرا باشند.

همچنین از جناب آقای مهندس وحید سیاهپوش استاد مشاور محترم که همواره بنده را در انجام این پژوهش یاری داده‌اند، از ایشان به واسطه الطافشان سپاسگزارم. در پایان از کمک‌های صادقانه دوستان عزیزم آقایان دکتر مولایار ملک‌جانی، ابراهیم آقایاری، صهیب صدیقی، بهنام رضایی، علی قیاسی، محمود مظاہری، اکبر کلایی، میثم علی‌همتی، اکبر فتحی و همچنین خانم مینا اسمائیل‌پور که همواره باعث دلگرمی اینجانب بودند سپاسگذارم.

نام خانوادگی: کوهی همپا	نام: بهنام
عنوان پایان نامه: ناپایداری ریله - تیلور در پلاسما فوکوس	
استادان راهنما: دکتر محمود مصلحی فرد - دکتر صمد سبحانیان	استاد مشاور: مهندس وحید سیاهپوش
مقطع تحصیلی: کارشناسی ارشد گرایش: اتمی و مولکولی (پلاسما)	رشته: فیزیک
دانشگاه: تبریز	دانشکده: فیزیک
تعداد صفحات: ۹۵	تاریخ فارغ التحصیلی: شهریور ۸۶
کلید واژه ها: پلاسمای کانونی، نرخ رشد، تنگش Z، توان پالسی، شعاع لازموري محدود، شار برشی محوری، ناپایداری تبادلی، فیلیپوف، اشعه X سخت و نرم	
چکیده:	
<p>با تخلیه جریان الکتریکی از مرتبه مگا آمپر یک گاز در دستگاههای پلاسما فوکوس، ستون متراکمی از پلاسما با دما و چگالی بالا تولید می‌شود. پرتوهای مختلفی در این دستگاه از ناحیه تنگش گسیل می‌شوند. این انفجارها نسبت به ناپایداری ریله- تیلور حساسند زیرا پوسته پلاسما (سیال سنگین) به طور مؤثری توسط میدان مغناطیسی (سیال سبک)، به طور شعاعی به طرف داخل شتابدار شده است. ناپایداری ریله- تیلور (RT) دمای پلاسمای تنگش را کم می‌کند و به عرض پالس تابش اشعه X می‌افزاید. سیر تکاملی ناپایداری ریله- تیلور با استفاده از تئوری مگنتوهیدرودینامیک (MHD) تراکم ناپذیر، مورد مطالعه قرار گرفته و تأثیر عوامل مختلف بررسی شده و روابط نرخ رشد برای ناپایداری RT در هندسه مستطحه، به دست آمده است.</p> <p>این روابط با استفاده از داده‌های پلاسما فوکوس رسم شده و نتایج آن بحث و بررسی می‌شود. همچنین نتایج تجربی به دست آمده از دستگاه پلاسما فوکوس تجزیه و تحلیل شده است.</p>	

فهرست مطالب

فهرست مطالب:

عنوان	شماره صفحه
مقدمه	

فصل اول : بررسی منابع و پیشینه تحقیق

۱	تاریخچه
۷	۱-۱- اساس Z-pinch
۱۲	۱-۲- پلاسما فوکوس
۱۶	۱-۳- عملکرد و نتیجه تنگش
۱۹	۱-۴- فاز ناپایداری
۲۰	۱-۵- چگونگی تولید و اندازه‌گیری نورترون‌ها
۲۲	۱-۶- تابش پلاسما
۲۲	۱-۶-۱- تابش ترمزی
۲۳	۱-۶-۲- تابش بازترکیب
۲۴	۱-۷- اصول عملکرد دستگاه پلاسما فوکوس
۳۱	۱-۸- تعادل MHD استاتیک
۳۲	۱-۹- مفهوم ناپایداری در پلاسما
۳۷	۱-۱۰- مفهوم ناپایداری ریله- تیلور
۳۹	۱-۱۱- پیشینه پژوهش

فصل دوم : مواد و روشها

۴۴	۱-۲- دستگاه پلاسما فوکوس سهند
۴۶	۱-۱-۲- مدول اصلی آزمایش
۴۹	۲-۱-۲- سیستم خلا
۴۹	۳-۱-۲- سیستم تغذیه قدرت (بانک خازنی)
۵۰	۴-۱-۲- سیستم دیاگنوستیک
۵۰	۴-۱-۲- اندازه‌گیری جریان تخلیه و میدان مغناطیسی
۵۲	۲-۴-۱-۲- مطالعه ناحیه تنگش با استفاده از دوربین Pinhole
۵۳	۳-۴-۱-۲- اندازه‌گیری تابش اشعه X
۵۵	۴-۴-۱-۲- اندازه‌گیری گسیل نوترون
۵۶	۵-۱-۲- سیستم داده پردازی (DAS)
۵۷	۲-۲- ناپایداری ریله- تیلور بدون برخورد
۵۷	۱-۲-۲- مکانیزم
۶۰	۲-۲-۲- رابطه پاشندگی
۶۴	۲-۳- نرخ رشد و فرکانس
۶۸	۳-۲- ناپایداری ریله- تیلور برخوردی

فصل سوم : نتایج و بحث

- ۳-۱-۱- رسم نمودار روابط به دست آمده ناپایداری ریله- تیلور در پلاسما فوکوس ۷۳
- ۳-۱-۲- رسم نمودار نرخ رشد مرتبه صفرم در حالت بی برخوردی ۷۳
- ۳-۱-۳- رسم نمودار نرخ رشد و فرکانس حقیقی تصحیح یافته در حالت بی برخوردی ۷۵
- ۳-۱-۴- رسم نمودار نرخ رشد و فرکانس حقیقی در حالت برخوردی ۷۸
- ۳-۲-۱- بررسی تأثیر ناپایداری در داده های دستگاه پلاسما فوکوس سهند ۸۱
- ۳-۲-۲- بررسی تأثیر عوامل مختلف در کاهش ناپایداری ریله- تیلور ۸۴
- ۳-۲-۳-۱- بررسی تأثیر شار محوری برشی در کاهش ناپایداری ریله- تیلور ۸۵
- ۳-۲-۳-۲- بررسی ویسکوزیته چرخشی و شار برشی در کاهش ناپایداری ریله- تیلور ۸۹
- ۳-۴-۱- نتیجه گیری ۹۴
- ۳-۵-۱- پیشنهادات ۹۵
- منابع

فهرست شکل‌ها و جداول

فهرست شکل‌ها و جداول:

عنوان	شماره صفحه
شکل ۱-۱- نمای شماتیک دو نوع متدالو از دستگاه پلاسما فوکوس	۶
شکل ۱-۲- هندسه Z-pinch	۷
شکل ۱-۳- شکل طرحوار یک آزمایش Z-pinch	۱۱
شکل ۱-۴- شمایی از مدار و دینامیک پلاسما	۲۶
شکل ۱-۵- نمایهای از فازهای PF	۲۷
شکل ۱-۶- تصاویر رشته پلاسمای پینچ شده در فشارهای مختلف از گاز دوتریم	۴۱
شکل ۲-۱- دیاگرام قسمت‌های مختلف دستگاه PF سهند	۴۴
شکل ۲-۲- قسمت‌های مختلف اتاقک تخلیه و کلید اسپارک گپ	۴۷
شکل ۲-۳- پیچه روگوفسکی و مدار معادل آن	۵۱
شکل ۲-۴- دوربین pinhole	۵۲
شکل ۲-۵- آشکارساز نیمرسانای SPPD برای ثبت پرتوهای XSR	۵۳
شکل ۲-۶- آشکارساز فوتو دیود خلا	۵۴
شکل ۲-۷- ساختار ناپایداری ریله - تیلور در پلاسما	۵۸
شکل ۳-۱- دیاگرام γ_0 بر حسب شعاع	۷۴
شکل ۳-۲- دیاگرام $\frac{\omega_{rt}}{\gamma_0}$ بر حسب KL_n	۷۶
شکل ۳-۳- دیاگرام $\frac{\gamma_{rt}}{\gamma_0}$ بر حسب KL_n	۷۶

فهرست شکل‌ها و جداول

- ۷۹ شکل ۳-۴-۳- دیاگرام $\frac{\omega_{rl}^c}{\gamma_{0rl}}$ بر حسب KL_n
- ۸۰ شکل ۳-۵-۵- دیاگرام $\frac{\gamma_{rl}^c}{\gamma_{0rl}}$ بر حسب شعاع
- ۸۱ شکل ۳-۶-۳- دیاگرام $\frac{\gamma_{rl}^E}{\gamma_{0rl}}$ بر حسب شعاع
- ۸۴ شکل ۳-۷-۳- دیاگرام زمانی جریان و مشتق جریان
- ۸۶ شکل ۳-۸-۳- هندسه تخت استفاده شده در تحلیل پایداری
- ۴۳ جدول ۱-۱- معرفی چند نوع دستگاه PF

مقدمه:

همچنانکه می‌دانیم پلاسمای خیلی گرم با طول عمر بسیار کوتاه و چگالی بالا در درون دستگاه پلاسما فوکوس ایجاد می‌شود. پلاسما فوکوس وسیله‌ای ارزشمند و مفروض به صرفه برای تولید اشعه X و ذراتی مانند نوترون و الکترون است. در حال حاضر دو نوع پلاسما فوکوس وجود دارد که نوع فیلیپوف و نوع مدر خوانده می‌شوند که به نام کاشف آنها می‌باشند. تفاوت اساسی این دو نوع پلاسما فوکوس در ابعاد الکترود و نسبت قطر به ارتفاع در الکترود مرکزی است.

علاوه بر این تولید پرتوهای یونی پالسی برای ساخت نیمرسانها با استفاده از پلاسما فوکوس پیشنهاد شده است. خالص‌سازی پرتوهای یونی پالسی راه حلی است که به این کاربردها مربوط می‌شود، چون مواد نیمه‌رسانا به ناخالصی خیلی حساس هستند..

یک پلاسما فوکوس شامل یک جفت الکترود هم محور می‌باشد که همراه با پلاسما یا گازی هستند. که در ابتدا منطقه را پر کرده است. ولتاژ موردنیاز در میان الکترودها یک لایه جریان را تولید می‌کند که در ضمن حرکتش فشار مغناطیسی به وجود می‌آورد و درنهایت Z-pinch روی محوز (قطب) تشکیل می‌شود.

زمانی که وجود ناپایداری‌ها در پلاسما معلوم گشت، جامعه محققان برای مدت‌های طولانی علاقه خود را در این زمینه از دست دادند. یکی از این ناپایداری‌ها، ناپایداری ریله- تیلور(RT) بوده که ناپایداری مرز پلاسما تحت نفوذ میدان مغناطیسی می‌باشد. رشد این ناپایداری از گرادیان چگالی ناشی می‌شود که از نوع ناپایداری‌های بزرگ می‌باشد و در پلاسما فوکوس باعث می‌شود که دمای پلاسمای پینج کاهش یافته و عرض پالس تابش اشعه X افزایش یابد و میدان الکتریکی بزرگی تولید شود. به طور

آشکار برای اینکه یک بازده بالای تابشی اشعه X را داشته باشیم پلاسما باید پایدار بماند. ابعاد بزرگتر

پلاسما، ممکن است باعث شوند که ناپایداری ریله- تیلور ، زمان کافی برای رشد داشته باشد. تا حالا

تلاش‌های زیادی برای کم کردن یا مانع شدن ناپایداری ریله- تیلور صورت گرفته است.

به عنوان مثال تلاش برای ایجاد تقارن سمتی و محوری بالا، برای کاهش هر گونه اختلال اولیه که

ممکن است تبدیل به ناپایداری‌های خطرناکی شوند، صورت گرفته است. Shumlak و

همکارانش [۲۲]، کاربرد شارهای محوری برشی ، شاعع لارمور متناهی و خمیدگی غلاف (پوشش) را

برای پایدارسازی ناپایداری ریله- تیلور در انفجارهای پلاسما ، مورد تحقیق و بررسی قرار دادند. همه

این نتایج نشان دادند که اثرات مختلف و منحصر به فرد می‌توانند اندکی ناپایداری ریله- تیلور را کاهش

دهند. در پیکربندی‌های انفجاری متنوع، رشد ناپایداری RT می‌تواند متفاوت باشد.

Haines [۲۳] نشان داد که برای به دست آوردن یک بازده (کارایی) بالایی از اشعه‌های X باید

دو فرایند صورت بگیرد. اولین آنها گرمایش ویسکوز یون‌هاست و دومی اصل همپاری انرژی بین یون‌ها

و الکترون‌هاست که با یونیزاسیون و تشعشع ثانوی همراه است. بنابراین ویسکوزیته نقش مهمی در

گرمایش یون‌ها بازی می‌کند. او و همکارانش اثرات ویسکوزیته را بر روی ناپایداری ریله- تیلور مورد

بررسی قرار دادند.

توجه بیشتری به ویسکوزیته غیربرخورده معطوف شده است که همانا از اثرات شاعع لارمور

متناهی می‌باشد. اخیراً Ruden اثر فرسایشی این پدیده را در ناپایداری RT مورد مطالعه قرار داده

است.

در فصل اول این پایاننامه، تاریخچه و مطالعات انجام شده در رابطه با موضوع مورد مطالعه، بیان شده است و دستگاه پلاسما فوکوس معرفی می‌شود. مفهوم تعادل و ناپایداری پلاسما بیان شده و ناپایداری ریله- تیلور بررسی می‌شود.

در فصل دوم ضمن معرفی PF سهند، انواع ناپایداری‌های پلاسما فوکوس توضیح داده شده و دینامیک ناپایداری ریله- تیلور برخوردي وغیر برخوردي بيان می شود.

در فصل سوم نمودارهای نرخ رشد و فرکانس در پلاسما فوکوس رسم شده و داده‌های تجربی در دستگاه پلاسما فوکوس تجزیه و تحلیل می‌شود و تأثیر دو عامل چسبندگی و شار برشی محوری در کاهش ناپایداری ریله- تیلور بررسی می‌شود.

نکته قابل توجه این است که در فصل سوم، بررسی ناپایداری ریله- تیلور در فاز تراکم شعاعی سیستم پلاسما فوکوس انجام گرفته است و در مطالعه نتایج تجربی در بخش ۲-۳ مرحله تنگش بررسی می‌شود.

محل اپنے

بررسی منابع
و کتابخانه تحقیقی

تاریخچه:

زمانی که ژنراتورهای الکترواستاتیکی برای به وجود آوردن تخلیه الکتریکی در گاز مورد استفاده قرار گرفتند، نوع‌های اولیه Z-Pinch^۱ در سال ۱۷۱۰ ساخته شد. یک ژنراتور بزرگ توسط وان ماریوم^۲ در ۱۷۸۴ به کار گرفته شد که می‌توانست تقریباً 30 kJ انرژی ذخیره کند. و جرقه الکتریکی به طول 60 cm در گاز تولید نماید [۱]. ژنراتور وان ماریوم در نمایشگاهی در موزه معروف^۳ هلند قرار دارد.

پینچ‌های جریان بالا، در آن زمان مستلزم سیم‌های انفجاری بودند. که همانا برای تولید اشعه X نرم، استفاده شدند. به طور نمونه، یک ولتاژ 10 kV ولتی از یک منبع شارژ شده، برای یک سیم مناسب در حدود قطر $100-1000 \mu\text{m}$ ، اعمال می‌شد.

نخست، سیم تبخیر شده و جریان کاهش می‌یابد. همچنین میدان الکتریکی افزایش می‌یابد، بخار منفجر شده و تخلیه انجام می‌گیرد. یک پلاسما با مقاومت پایین بوجود می‌آید. که کارایی حمل جریان بزرگی را دارد و پینچ پلاسما انجام می‌گیرد.

با هر دوی گرمای اهمی و تراکمی، پلاسما به دمای $10-100 \text{ eV}$ می‌رسد و طیف جسم سیاه را تابش می‌کند. چگالی الکترون‌های پلاسما بعد از انجام پینچ، به طور نمونه در حدود 10^{21} cm^{-3} می‌باشد [۲].

برنامه تحقیقی گرما هسته‌ای کنترل شده اولیه روی مقیاس زمانی میکرو ثانیه (جریان بالا) روی Z پینچ‌های دوتیریم، که یک پلاسمای متراکم با چگالی در حدود 10^{18} cm^{-3} ایجاد می‌کرد، متمرکز شده بود. پینچ‌ها همانند سیستم‌های به کار رفته برای حبس مغناطیسی شبه استاتیک پلاسما برای احتمال همجوشی، تلقی می‌شوند.

مدل‌های تعادلی تحلیلی پلاسمای Z-Pinch بیان می‌کند که دماها و چگالی‌های فیوژن با زمان‌های حبس معقول امکان پذیرند. در طول زمانی ۱۹۵۲ الی ۱۹۶۰ این سیستم‌ها به‌طور گسترشده مطالعه شدند.

متأسفانه، ناپایداری‌های MHD^۱ به سرعت، برای مختل کردن حبس پلاسما مشاهده شدند. اساس تئوری برای این قبیل ناپایداری‌های MHD، توسعه یافتند. به‌طور تئوری یا آزمایشگاهی، حذف ناپایداری‌ها ممکن نبود.

آنچنانچه جامعه فیوژن علاقه در زمینه Z-Pinch را برای مدت چند سال از دست دادند. در سال‌های اخیر علاقه جدیدی در چندین فرم پینچ بوجود آمده است. که در آنها پیکربندی سیستم‌ها بهتر شده و تأثیر عوامل کاهنده ناپایداری‌ها، درنظر گرفته شده است.

توسعةً ولتاژ بالا، تکنولوژی‌های توان پالسی^۱ سریع در ۳۰ سال گذشته، علاقه مجددی در سیستم‌های Z-Pinch چگالی بالا به وجود آورد. در آزمایشگاه تحقیقاتی ناوال^۲ در سال ۱۹۶۹، اشعه X پرانرژی از تک سیم‌های انفجاری مرکب از اتم‌های گوناگون، مشاهده شد. آزمایش‌های قبلی شامل توان الکتریکی، با قدرت صدھا گیگا وات بود.

توانی در حدود یک ترا وات با استفاده از تکنولوژی توان پالسی به دست آمد. در نتیجه، رسیدن به دماهای پلاسمایی که دمای آن محدود به قانون تابش جسم سیاه نبود، ممکن گشت.^[۳] برای عبور جریان در درون دستگاه‌های تنگش-Z اولیه از سیم‌های انفجاری استفاده می‌شد که در نهایت تغییر می‌شدن. محدودیت تک سیم‌های انفجاری ابتدائی^۴ به علت مقاومت ظاهری ابتدائی آنها بود. که معمولاً Ω ۱-۲ می‌باشد. مقیاس این سیستم‌ها برای جریان‌های بالاتر به منظور رسیدن به انرژی‌ها و توان‌های بالاتر اشعه X، مستلزم سیستم‌های توان پالسی با ولتاژ شدیداً بالا (بزرگتر از ۱۰۰ مگا ولت) و توان بالا (بزرگتر از ۱۰۰ ترا وات) بوده است.

این محدودیت توان پالسی به آزمون مجدد و توسعه بیشتر دینامیک Z-Pinch منجر شد. در این پیکربندی‌ها، تک سیم‌های انفجاری با آرایه‌های استوانه‌ای سیم‌ها، جایگزین شد. ژنراتورهای جریان بالا در دهه (۱۹۷۰S-۱۹۸۰S) در آزمایشگاه‌های ماکسول و... توسعه یافتد.

^۱-Pulse power

^۲-Naval

^۳-X-Ray

هم اکنون تولید پالس‌های جریان، با مقدارهای پیک به بزرگی $MA\ 20$ ممکن می‌باشد. زمان-

های پالس از مرتبه $ns\ 10^0$ ، می‌باشد.

مقاومت ظاهری دستگاه‌های توان پالسی جریان بالای جدید، از مرتبه $\Omega\ 25/10/0$ می‌باشد.

آهنگ افزایش جریان می‌تواند، به بزرگی $\frac{A}{S} \times 10^{14}$ باشد.

انرژی گرفته شده توسط Z-Pinch می‌تواند با انتخاب جرم و هندسه ابتدائی Z-Pinch و

بهتر کردن یکنواختی پلاسمای موجود، بهینه شود.

نتایج آزمایش‌های اخیر که با Z-Pinch های چگال انجام گرفت، نشان می‌دهد که سیستم‌های

جدید Z-Pinch، قابلیت پایداری بیشتری را دارند و تراکم بالا (چگالی انرژی خیلی بالا)، می‌توانند

تهیه نمایند که زمان‌های حبس پلاسما، طولانی‌تر از زمان‌های پیشگویی شده توسط تخمین‌های

مرسوم از دهه ۱۹۶۰-۱۹۵۰، می‌باشد.

بازنگری جامع درباره این موضوع، توسط دنگر^۱ و همکارانش در سال ۱۹۸۶ انجام شد. از

ایزو، Z-Pinch های چگالی بالا، برای تولید اشعه‌های X چند منظوره، توسعه یافتند که می‌توانست

۱-۲ MJ تابش داشته باشد که دمای الکترون به بزرگی چند کیلو ولت است.

نظریه‌های مرسوم روی کاربردهای Z-Pinch، مخصوصاً آنهایی که مربوط به همجوشی گرما هسته‌ای کنترل شده‌اند، هم‌اکنون مجدداً به طور جدی بررسی می‌شود.

واخر دهه ۵۰، فیلیپوف^۱ در شوروی سابق و اس‌الی‌مدر^۲ در ایالات متحده آمریکا، جداگانه به پیشرفت‌های اساسی در مطالعه سیستم‌های نسبتاً متفاوت Z-Pinch و شتاب‌دهنده‌های پلاسمای هم-

محور، دست یافتند. در نتیجه، یک پلاسما با بالاترین مقدار انرژی ویژه (در آن زمان) تولید شد. و سیستم‌های پلاسمای کانونی^۳ (PF) نوع فیلیپوف و مدر، شناخته شدند.

تفاوت اساسی این دو سیستم در ابعاد الکترودها و نسبت قطر به ارتفاع در الکترود مرکزی می‌باشد. بطوريکه پلاسمای کانونی نوع فیلیپوف، دارای نسبت $\frac{\text{قطر}}{\text{ارتفاع}} < 5$ و نوع مدر، دارای

نسبت کمتر از $0/25$ است. الکترود داخلی در نوع فیلیپوف دارای قطر $50\text{-}200\text{ cm}$ است ولی در نوع مدر الکترود داخلی دارای قطر $2\text{-}22\text{ cm}$ می‌باشد.

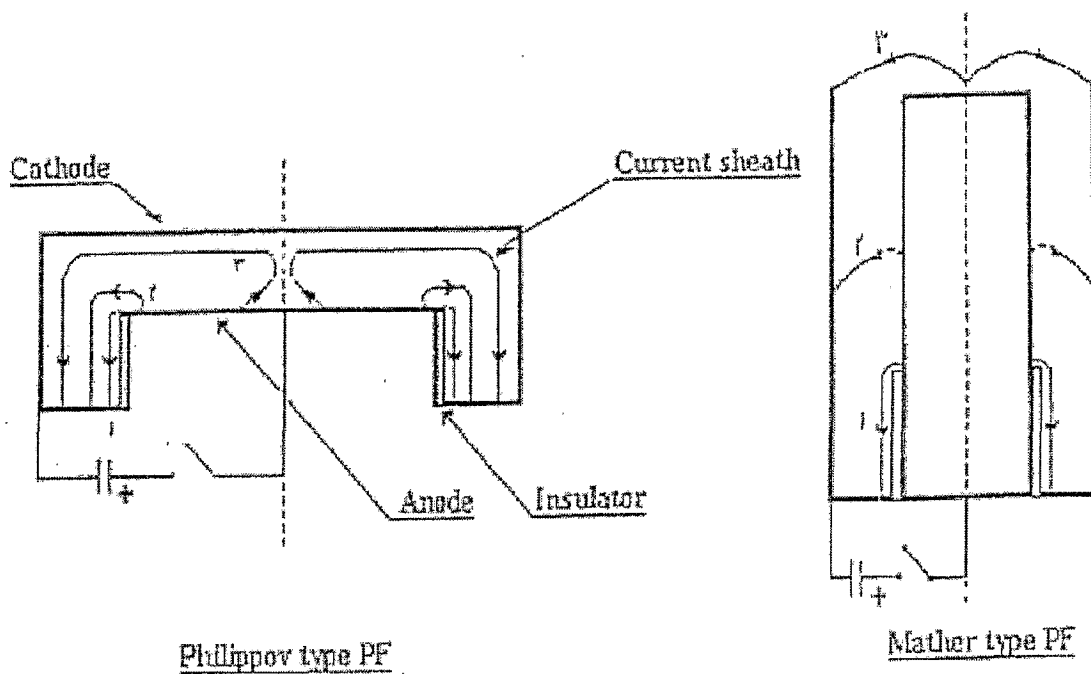
اصول عملکرد این دو سیستم مشابه است. اما در ظاهر نوع مدر کشیده است و نوع فیلیپوف پهن‌تر می‌باشد. تفاوت ظاهري این دو مدل منجر به متفاوت بودن شکل لایه جريان و نوع حرکت آن می‌شود. باید مذکور شد که در نوع مدر، حرکت لایه جريان از سطح عايق تا محور تقارن در دو مرحله جداگانه و پی‌درپی صورت می‌گیرد.

^۱-Filippov

^۲-S.Lee.Mather

^۳-Plasma focus

مرحله اول، حرکت رانش محوری است که با رسیدن لایه جریان به لبه آند خاتمه یافته و پس از آن، مرحله دوم که تنگش شعاعی نامیده می‌شود، آغاز می‌گردد. ولی در نوع فیلیپوف حرکت شعاعی لایه جریان به سمت محور تقارن، بلافاصله پس از تشکیل لایه جریان صورت می‌گیرد [۴].



شکل ۱-۱- نمای شماتیک دو نوع متداول از دستگاه پلاسمای فوکوس